



UNIVERSIDADE DA CORUÑA



ANEXOS A LA SOLICITUD DE DEPÓSITO DE  
LA LÍNEA CELULAR **MOA1-FIPS4F#7** EN EL  
BANCO NACIONAL DE LÍNEAS CELULARES

*ANNEXES TO THE APPLICATION FORM FOR  
DEPOSITING **MOA1-FIPS4F#7** CELL LINE  
INTO THE NATIONAL BANK OF STEM CELL  
LINES*

## ANEXOS/ANNEXES

Anexo 1: Test de pluripotencia de la línea **MOA1-FiPS4F#7**

*Annex 1: Pluripotency Test*

Anexo 2: Test de diferenciación *in vitro* de la línea **MOA1-FiPS4F#7**

*Annex 2: In vitro differentiation Test*

Anexo 3: Cariotipo de la línea **MOA1-FiPS4F#7**

*Annex 3: Karyotype*

Anexo 4: Huella genética de la línea **MOA1-FiPS4F#7**

*Annex 4: Genetic fingerprinting*

Anexo 5: Test de silenciamiento de la línea **MOA1-FiPS4F#7**

*Annex 5: Silencing Test*

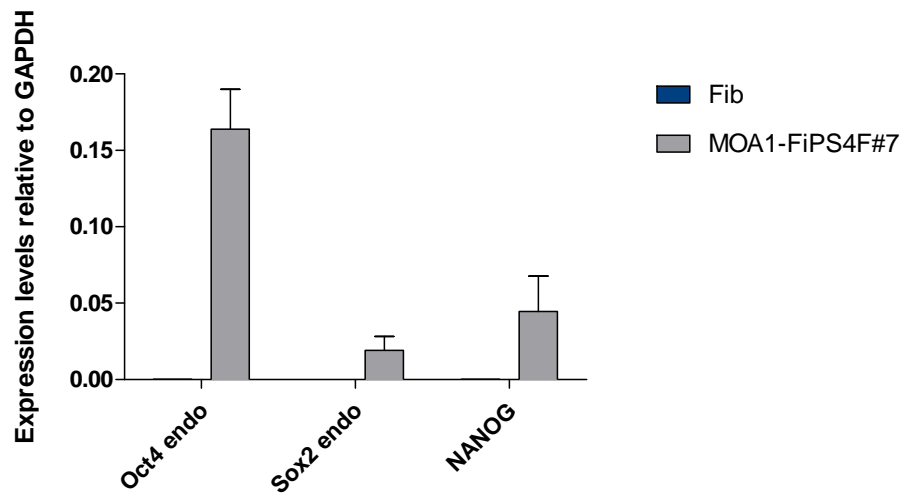
Anexo 6: Test de micoplasma de la línea **MOA1-FiPS4F#7**

*Annex 6: Mycoplasma Test*

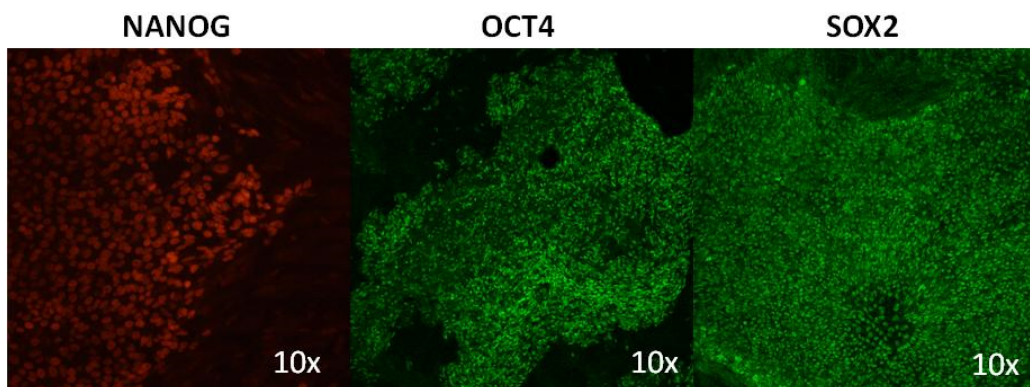


### Anexo 1: Test de pluripotencia de la línea MOA1-FiPS4F#7

#### *Annex 1: Pluripotency Test*



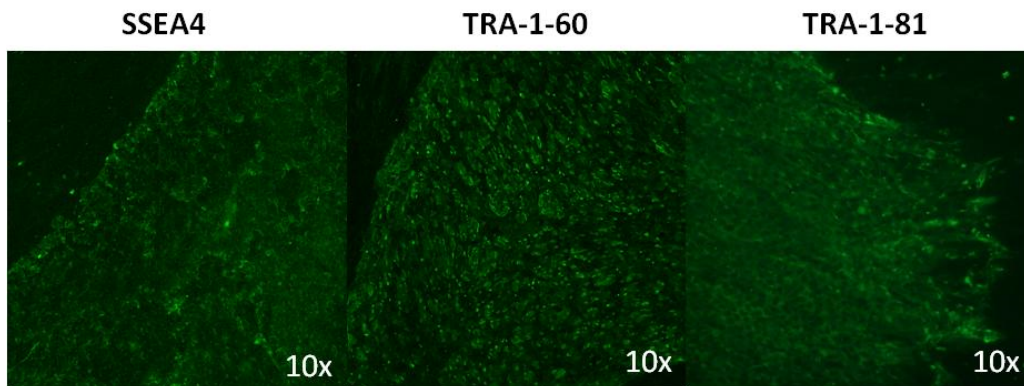
Niveles endógenos de expresión de OCT4, SOX2 y NANOG de la línea MOA1-FiPS4F#7. *Endogenous expression leves of OCT4, SOX2 and NANOG.*



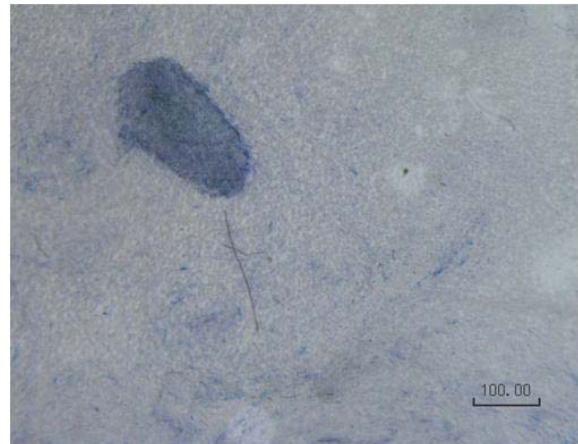
Detección por inmunofluorescencia de la expresión de Oct4, Sox2 y NANOG en la línea MOA1-FiPS4F#7. *Immunofluorescence detection of Oct4, Sox2 and NANOG expression.*



UNIVERSIDADE DA CORUÑA



Detección por inmunofluorescencia de la expresión de SSEA-4, TRA-1-60 y TRA-1-81 en la línea [N1-FiPS4F#7](#). *Immunofluorescence detection of SSEA-4, TRA-1-60 and TRA-1-81 expression.*

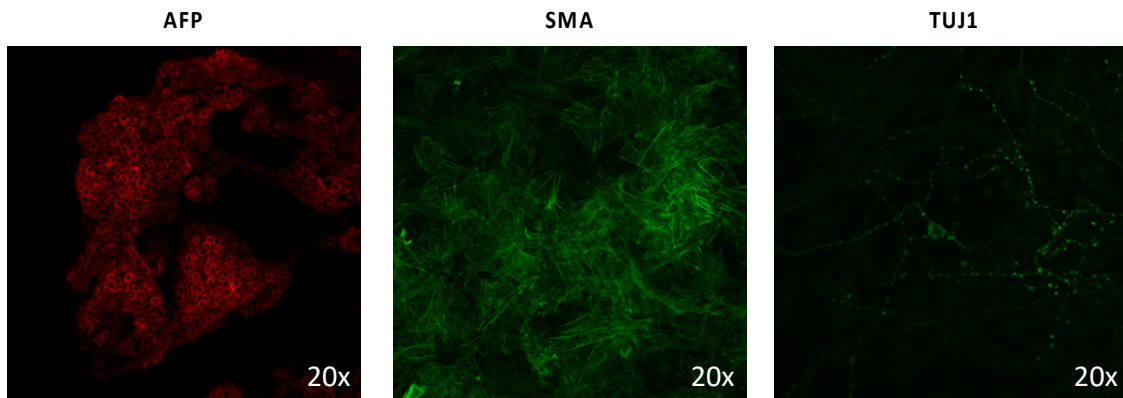


Detección de la actividad fosfatasa alcalina en la línea [MOA1-FiPS4F#7](#) mediante el kit *alkaline phosphatase blue membrane substrate solution kit* (AB0300; Sigma-Aldrich Química S.A.). *Detection of alkaline phosphatase activity.*



**Anexo 2: Test de diferenciación *in vitro* de la línea  
MOA1-FiPS4F#7**

***Annex 2: In vitro differentiation Test***



Diferenciación *in vitro* hacia endodermo (alfa-Fetoproteína, AFP), mesodermo (actina de músculo liso, SMA) y ectodermo (beta-Tubulina III, TUJ1) de la línea **MOA1-FiPS4F#7**. Células positivas para AFP, SMA y TUJ1.

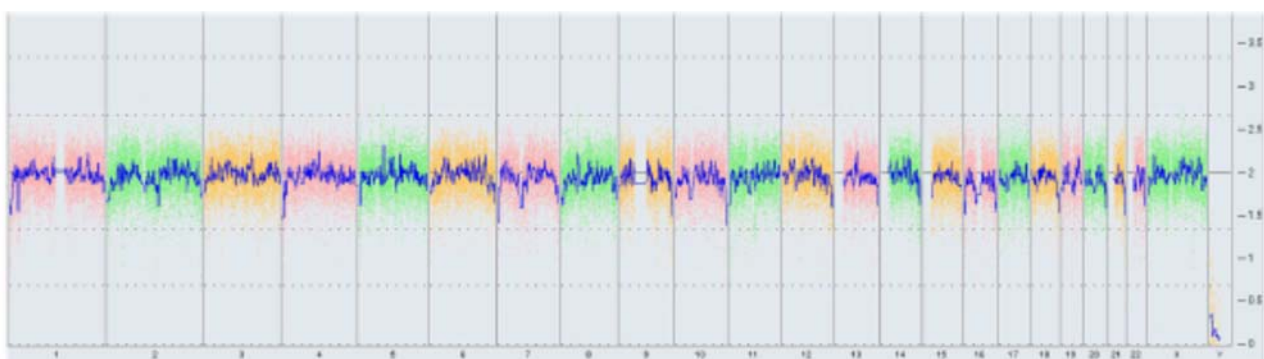
*In vitro differentiation towards endoderm (alpha, Fetoprotein, AFP), mesoderm (smooth muscle actin, SMA) and ectoderm (beta-Tubulin III, TUJ1). AFP, SMA and TUJ1 positive cells.*

## Anexo 3: Cariotipo de la línea MOA1-FiPS4F#7

### *Annex 3: Karyotype*

Informe independiente elaborado por el servicio KaryoStat™ de ThermoFisher Scientific.

1. El análisis reveló que la línea MOA1-FiPS4F#7 se originó de una mujer.  
*KaryoStatTM analysis revealed MOA1-FiPS4F#7 originated from a female individual.*
2. El cariotipo es normal.  
*Karyotype is normal.*



**Figure 4: Whole genome view.** The whole genome view displays all somatic and sex chromosomes in one frame with high level copy number. The smooth signal plot (right y-axis) is the smoothing of the log<sub>2</sub> ratios which depict the signal intensities of probes on the microarray. A value of 2 represents a normal copy number state (CN = 2). A value of 3 represents chromosomal gain (CN = 3). A value of 1 represents a chromosomal loss (CN = 1). The pink, green and yellow colors indicate the raw signal for each individual chromosome probe, while the blue signal represents the normalized probe signal which is used to identify copy number and aberrations (if any).

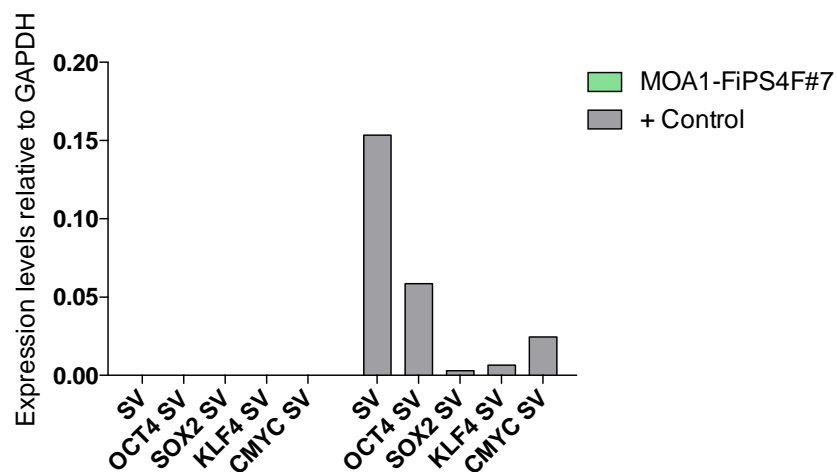
## Anexo 4: Huella genética de la línea MOA1-FiPS4F#7

### *Annex 4: Genetic fingerprinting*

Informe independiente elaborado por la plataforma de genómica del Instituto de Investigaciones Biomédicas "Alberto Sols", Madrid.

*Independent report elaborated by the genomic service at Instituto de Investigaciones Biomédicas "Alberto Sols", Madrid.*

FOR-SQP-27: RESULTADOS AUTENTIFICACION LINEAS CELULARES HUMANAS. Rev 00. Fecha: 20.02.2013														
NOMBRE	FECHA	RUN	MICROS	D5S818	D13S317	D7S820	D16S539	VWA	TH01	AMEL	TPOX	CSF	D21S11	COINCIDENCIA
MUESTRA			<i>M. musculus</i>											C/NC
FIBROBLASTOS			Negativo	12	12,14	10,13	9,12	16	9,3,10	X	8	11,12	30	
MOA1-FiPS4F#7	14/11/18	M188	*****	12	12,14	10,13	9,12	16	9,3,10	X	8	11,12	30	C
COINCIDENCIA														
NO COINCIDENCIA														
MEZCLA DE LÍNEAS														
RATON/CONTAMIN RATON														
COINCIDENCIA														
NO COINCIDENCIA														
MEZCLA DE LÍNEAS														
RATON/CONTAMIN RATON														

**Anexo 5: Test de silenciamiento de la línea MOA1-FiPS4F#7***Annex 5: Silencing Test*

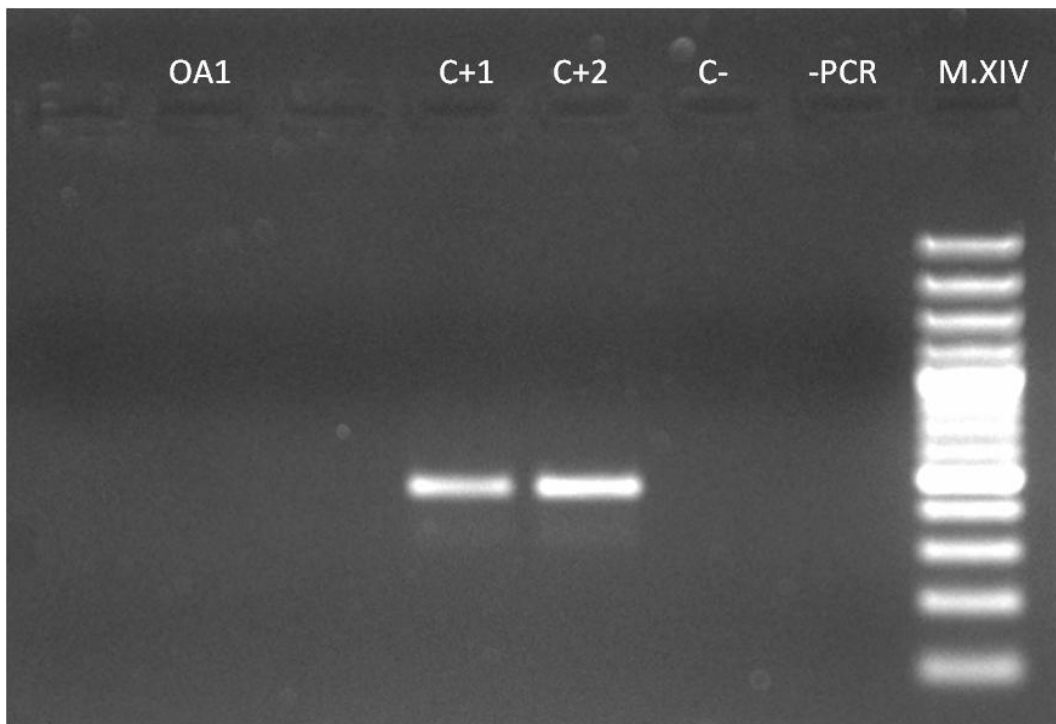
Comprobación del silenciamiento de la línea **MOA1-FiPS4F#7** mediante *qRT-PCR* empleando los cebadores proporcionados por el *kit* de reprogramación *Cytotune*. Como control positivo (*+ control*) se emplearon fibroblastos recién infectados con los vectores derivados del virus Sendai.

*Silencing test checked by using qRT-PCR and primers provided by the Cytotune kit. Immediately infected fibroblasts with Sendai virus-derived vectors were employed as positive control (+ Control).*



### Anexo 6: Test de micoplasma de la línea **MOA1-FiPS4F#7**.

#### *Annex 6: Mycoplasma Test*



- M.XIV = Marcador/Marker
- OA1 = MOA1-FiPS4F#7
- C+1 y C+2 = controles positivos de micoplasma/ *positive controls*
- C-= control negativo de micoplasma/ *negative control*
- - PCR = control negativo de la PCR/ *PCR negative control*